

# Espaces de modules de tores plats et fonctions hypergéométriques elliptiques

**Luc PIRIO**

(CNRS & Univ. Versailles)

4 octobre 2018

## I Surfaces plates ( $g \geq 0$ )

Veech                    “*Flat Surfaces*” Amer. J. Math. (1993)

## II Sphères plates ( $g = 0$ )

Deligne-Mostow “*Monodromy of hypergeometric functions*”

Thurston                “*Shapes of polyhedra*”

## III Tores plats ( $g = 1$ )

Ghazouani-Pirio  $\left\{ \begin{array}{l} [\text{GP}_{\text{geom}}] = \text{GAFA (2017)} \\ [\text{GP}_{\text{hypergeom}}] = \text{Mém. SMF} \end{array} \right.$

# Notations

- $g \geq 0$  et  $n \geq 1$  tels que  $2g - 3 + n > 0$
- 

- $S$  : surface de genre  $g$

- $p_1, \dots, p_n$  :  $n$  points sur  $S$

- $S^* = S \setminus \{p_1, \dots, p_n\}$

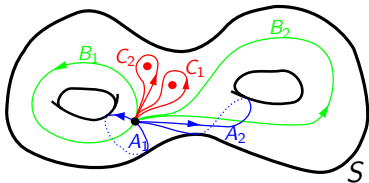
---

- $X$  : surface de Riemann de genre  $g$

- $x = (x_1, \dots, x_n)$  :  $n$ -uplet de points sur  $X$

- $X^* = X \setminus \{x_1, \dots, x_n\}$

- $\pi_1(g, n) = \pi_1(S^*) = \langle A_i, B_i, C_1, \dots, C_n \mid \prod_i [A_i, B_i] = C_n \cdots C_1 \rangle$



### Définitions :

- un *marquage du  $\pi_1$  de  $(X, x)$*  est un isomorphisme

$$\varphi : \pi_1(g, n) \simeq \pi_1(X^*) \quad \left( \text{modulo } \mathbf{Int}(\pi_1(g, n))^{\mathbf{C}} \right)$$

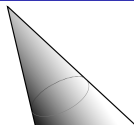
- $\mathbf{Teich}_{g,n} = \left\{ (X, x, \varphi) \mid \varphi \text{ marquage de } \pi_1(X^*) \right\}$

- $\mathbf{PMCG}_{g,n}^{\pm} = \mathbf{Out}(\pi_1(g, n))^{\mathbf{C}} = \mathbf{Aut}(\pi_1(g, n))^{\mathbf{C}} / \mathbf{Int}(\pi_1(g, n))^{\mathbf{C}}$

- $\mathbf{Teich}_{g,n}$  est isomorphe à un domaine borné de  $\mathbb{C}^{3g-3+n}$
- $\mathbf{PMCG}_{g,n}$  est isomorphe à  $\mathbf{Bihol}(\mathbf{Teich}_{g,n})$
- $\mathbf{Teich}_{g,n}/\mathbf{PMCG}_{g,n}$  est isomorphe à  $\mathbf{M}_{g,n}$
- $\mathbf{PMCG}_{g,n}$  est isomorphe à  $\pi_1^{orb}(\mathbf{M}_{g,n})$

# Surfaces plates : définitions

- $\forall \theta > 0$  :  $C_\theta =$  cône euclidien d'angle  $\theta =$



- “Plat” = localement isomorphe à  $\mathbb{E}^2 \simeq (\mathbb{C}, |dz|^2)$

**Déf:** une métrique plate  $m$  sur  $S^*$  a une *singularité conique* en  $p_k$  si localement en ce point

- $(S, m) \simeq C_{\theta_k}$  pour un certain *angle conique*  $\theta_k > 0$



- $m = |z^{\alpha_k} dz|^2$  pour un certain *exposant*  $\alpha_k > -1$

- $\theta_k = 2\pi(1 + \alpha_k)$        $\kappa(p_k) =$  courbure en  $p_k = 2\pi - \theta_k$

**Gauß-Bonnet** :  $p_k$  est conique  $\forall k \implies \sum_{k=1}^n \alpha_k = 2g - 2$

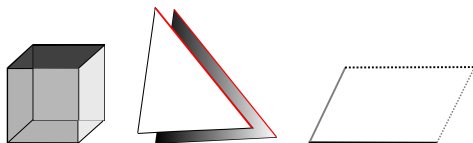
# Surfaces plates : exemples

- Métriques plates sur  $X$  :

- $m = |\omega|^2$  avec  $\omega \in H^0(X, K_X)$  : surface de translation
- $m = |\eta|^{2/k}$  avec  $\eta \in H^0(X, K_X^{\otimes k})$  : surface de  $\frac{1}{k}$ -translation
- $m = |\mu|^{2/k}$  avec  $\mu \in H^0(X, K_X^{\otimes k} \otimes L_\rho)$ ,  $\rho : \pi_1(X) \rightarrow \mathbb{U}$

- Surface polygonale :

obtenue en recollant  
des polygones euclidiens



**Thm : (Décomposition de Delaunay)**

Une surface plate admet une décomposition polygonale canonique

# Veech : "Flat surfaces"

- $\alpha = (\alpha_k)_{k=1}^n$  fixé tel que  $\sum_{k=1}^n \alpha_k = 2g - 2$
- $\mathcal{E}_{g,n}^\alpha = \left\{ \begin{array}{l} \text{structures plates sur } S \text{ avec une} \\ \text{singularité } \alpha_k\text{-conique en } p_k \forall k \end{array} \right\} / \text{Isotopie}$
- $(S, m) \in \mathcal{E}_{g,n}^\alpha : m = |z^{\alpha_k} dz|^2 \text{ en } p_k \Rightarrow \text{structure complexe en } p_k$
- Application naturelle 
$$\begin{array}{ccc} \mathcal{E}_{g,n}^\alpha & \longrightarrow & \mathbf{Teich}_{g,n} \\ (S, m) & \longmapsto & (X, x) \end{array}$$

## Thm : [Trojanov]

Pour tout  $(X, x)$ , il existe une unique métrique plate  $m_{X,x}^\alpha$  sur  $X$  avec  $m_{X,x}^\alpha = |z^{\alpha_k} dz|^2$  au voisinage de  $x_k$  pour tout  $k \leq n$



# Veech : "Flat surfaces"

- $\alpha = (\alpha_k)_{k=1}^n$  fixé tel que  $\sum_{k=1}^n \alpha_k = 2g - 2$
- $\mathcal{E}_{g,n}^\alpha = \left\{ \begin{array}{l} \text{structures plates sur } S \text{ avec une} \\ \text{singularité } \alpha_k\text{-conique en } p_k \forall k \end{array} \right\} / \text{Isotopie}$
- $(S, m) \in \mathcal{E}_{g,n}^\alpha : m = |z^{\alpha_k} dz|^2$  en  $p_k \Rightarrow$  structure complexe en  $p_k$

• **Isomorphisme**

$$\begin{aligned} \mathcal{E}_{g,n}^\alpha &\xrightarrow{\sim} \mathbf{Teich}_{g,n} \\ (S, m) &\longmapsto (X, x) \\ (S, m_{X,x}^\alpha) &\longleftarrow (X, x) \end{aligned}$$

## Thm : [Trojanov]

Pour tout  $(X, x)$ , il existe une unique métrique plate  $m_{X,x}^\alpha$  sur  $X$  avec  $m_{X,x}^\alpha = |z^{\alpha_k} dz|^2$  au voisinage de  $x_k$  pour tout  $k \leq n$

Pour  $(X, x) \in \mathbf{Teich}_{g,n} \simeq \mathcal{E}_{g,n}^\alpha \rightsquigarrow$  métrique  $\alpha$ -plate  $m_{X,x}^\alpha$  sur  $X$

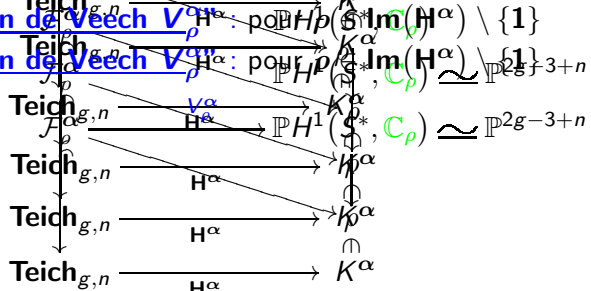
- $\rho_{X,x}^\alpha : \pi_1(g, n) \xrightarrow{\varphi} \pi_1(X^*) \xrightarrow{\text{holonomie de } m_{X,x}^\alpha} \mathbb{U}$
- $\rho_{X,x}^\alpha \in K^\alpha = \left\{ \rho : \pi_1(g, n) \rightarrow \mathbb{U} \mid \rho(C_k) = e^{i\theta_k} \right\} \simeq \mathbb{U}^{2g}$
- Application d'holonomie  $\mathbf{H}^\alpha : \mathbf{Teich}_{g,n} \rightarrow \mathbb{U}^{2g}, (X, x) \mapsto \rho_{X,x}^\alpha$

**Thm : [Veech]**

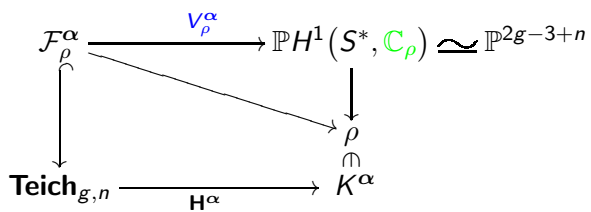
- $\mathbf{H}^\alpha : \mathbf{Teich}_{g,n} \rightarrow \mathbb{U}^{2g}$  est une submersion  $C^\omega$
- $\mathcal{F}_\rho^\alpha = (\mathbf{H}^\alpha)^{-1}(\rho) : \begin{array}{l} - \text{ sous-variété complexe de } \mathbf{Teich}_{g,n} \\ - \dim_{\mathbb{C}} (\mathcal{F}_\rho^\alpha) = 2g - 3 + n \end{array}$

$\rightsquigarrow$  **Def :**  $\mathcal{F}^\alpha = \left\{ \mathcal{F}_\rho^\alpha \mid \rho \in K^\alpha, \rho \neq \mathbf{1} \right\} = \text{Feuilletage de Veech}$

- “Application de Veech  $V_\rho^\alpha$ ” : pour  $\rho \in \text{Im}(H^\alpha) \setminus \{1\}$
- “Application de Veech  $V_\rho^\alpha$ ” : pour  $\rho \in \text{Im}(H^\alpha) \setminus \{1\}$



- “Application de Veech  $V_\rho^\alpha$ ” : pour  $\rho \in \text{Im}(H^\alpha) \setminus \{1\}$



Thm : [Veech]

- $\rightarrow$  Feuilletage  $\mathbf{F}^\alpha$  sur  $\mathbf{M}_{g,n}$ 
  1. transvmt. modelé sur  $(\mathbb{U}^{2g}) \mathbb{E}^{2g}$
  2. feuilles  $\mathbf{F}_\rho^\alpha$  de  $\dim_{\mathbb{C}} = 2g - 3 + n$ ,  
localement modelées sur  $\mathbb{C}\mathbb{H}^{p,q}$

- $\left\{ \begin{array}{l} ds_{\text{Euc}}^2 \text{ transversal}^t \\ + \omega_\rho^\alpha \text{ sur } \mathcal{F}_\rho^\alpha, \forall \rho \end{array} \right\} \implies$  forme volume  $\Omega^\alpha$  sur  $\mathbf{M}_{g,n}$

### Questions :

- Au sujet de  $\mathbf{F}^\alpha$  :
  - ▶ dynamique ?
  - ▶ géométrie ? ( $\exists$  feuille fermée/algébrique ?)
- “Conjecture du volume de Veech” :

$$\text{Vol}^\alpha(\mathbf{M}_{g,n}) := \int_{\mathbf{M}_{g,n}} \Omega^\alpha < +\infty \quad (??)$$

Soit  $(X, x) \in \mathbf{Teich}_{g,n} \simeq \mathcal{E}_{g,n}^\alpha \rightsquigarrow$  métrique  $\alpha$ -plate  $m_{X,x}^\alpha$  sur  $X$

- **Développante** :  $D_{X,x}^\alpha : \widetilde{X}^* \rightarrow \mathbb{C} \simeq \mathbb{E}^2$  ( $m_{X,x}^\alpha = |dD_{X,x}^\alpha|^2$ )

- **“Période relative (tordue)”** :

$$\xi(\gamma) = \int_\gamma dD_{X,x}^\alpha \quad \text{avec} \quad \gamma \in H_1(X, \{x_k\}, \mathbb{C}_{\rho^{-1}})$$

**Prop** : l'application  $V_\rho^\alpha : \mathcal{F}_\rho^\alpha \rightarrow \mathbb{P}H^1(S^*, \mathbb{C}_\rho)$  s'écrit explicitement :

$$\mathcal{F}_\rho^\alpha \ni (X, x) \longmapsto \left[ \xi(\gamma_i) \right]_{i=0}^{2g-3+n} \in \mathbb{P}^{2g-3+n}$$

où  $(\gamma_0, \dots, \gamma_{2g-3+n})$  est une base de  $H_1(X, \{x_k\}, \mathbb{C}_{\rho^{-1}})$

- **Ex.** :  $g = 0$  :  $X = \mathbb{P}^1 \ni x_1, \dots, x_n$ ,  $m_{X,x}^\alpha = \left| \prod_k (t - x_k)^{\alpha_k} dt \right|^2$

$$\xi(\gamma) = \int_\gamma \prod_k (t - x_k)^{\alpha_k} dt = \text{intégrale hypergéométrique}$$

## II $g = 0$

- $\alpha = (\alpha_k)_{k=1}^n$  avec  $\sum_{k=1}^n \alpha_k = -2$
- $\mathbf{H}^\alpha : \mathbf{Teich}_{0,n} \longrightarrow K^\alpha = \mathbb{U}^{2g} = \mathbb{U}^0 = \{\bullet\}$
- Le feuilletage de Veech  $\mathbf{F}^\alpha$  n'a qu'une seule feuille :  $\mathbf{M}_{0,n}$
- $\left\{ \begin{array}{l} -1 < \alpha_k < 0 \\ (0 < \theta_k < 2\pi) \end{array} \right\} \implies \mathbb{C}\mathbb{H}^{n-3}\text{-structure sur } \mathbf{M}_{0,n} = \mathbf{M}_{0,n}^\alpha$
- Holonomie  $\mathcal{H}^\alpha : \pi_1(\mathbf{M}_{0,n}) = \mathbf{PB}_{n-1} \longrightarrow \mathbf{Aut}(\mathbb{C}\mathbb{H}^{n-3})$
- Sous-groupe  $\Gamma^\alpha = \mathbf{Im}(\mathcal{H}^\alpha) < \mathbf{Aut}(\mathbb{C}\mathbb{H}^{n-3}) = \mathbf{PU}(1, n-3)$
- Critère arithmétique sur  $\alpha$  :

$$(\mathbf{INT}) \quad \forall k < \ell : -1 < \alpha_k + \alpha_\ell \implies \frac{1}{1 + \alpha_k + \alpha_\ell} \in \mathbb{Z}$$

## II Deligne-Mostow “Monodromy of hypergeom. functions”

- L'application de Veech :

$$V^\alpha : \widetilde{\mathbf{M}}_{0,n} \longrightarrow \mathbb{C}\mathbb{H}^{n-3} \subset \mathbb{P}^{n-3}, x \mapsto \left[ \int_{\gamma_k} \prod (t - x_k)^{\alpha_k} dt \right]_{k=0}^{n-3}$$

coïncide avec l’**“application de Schwarz”**

$$S^\alpha : \widetilde{\mathbf{M}}_{0,n} \longrightarrow \mathbb{C}\mathbb{H}^{n-3} \subset \mathbb{P}^{n-3}, x \mapsto [F_k(x)]_{k=0}^{n-3}$$

$(F_k)$  = base de l'espace  $\text{sol}^0$  du **“système hypergéométrique”**

$$(\mathcal{E}^\alpha) \quad \frac{\partial^2 F}{\partial x_i \partial x_j} = \frac{1}{x_i - x_j} \left( \alpha_i \frac{\partial F}{\partial x_j} - \alpha_j \frac{\partial F}{\partial x_i} \right), \quad 1 \leq i < j \leq n-3$$

**Thm :** [Schwarz (1873) - ... - Deligne-Mostow (1986)]

1.  $\alpha$  satisfait (INT)  $\implies \text{Mon}(S^\alpha) = \Gamma^\alpha \subset \text{PU}(1, n-3)$  réseau

## II Deligne-Mostow “Monodromy of hypergeometric fcts.”

- L'application de Veech :

$$V^\alpha : \widetilde{\mathbf{M}}_{0,n} \longrightarrow \mathbb{C}\mathbb{H}^{n-3} \subset \mathbb{P}^{n-3}, x \mapsto \left[ \int_{\gamma_k} \prod (t - x_k)^{\alpha_k} dt \right]_{k=0}^{n-3}$$

coïncide avec l’**“application de Schwarz”**

$$S^\alpha : \widetilde{\mathbf{M}}_{0,n} \longrightarrow \mathbb{C}\mathbb{H}^{n-3} \subset \mathbb{P}^{n-3}, x \mapsto [F_k(x)]_{k=0}^{n-3}$$

$(F_k)$  = base de l'espace  $\text{sol}^0$  du **“système hypergéométrique”**

$$(\mathcal{E}^\alpha) \quad \frac{\partial^2 F}{\partial x_i \partial x_j} = \frac{1}{x_i - x_j} \left( \alpha_i \frac{\partial F}{\partial x_j} - \alpha_j \frac{\partial F}{\partial x_i} \right), \quad 1 \leq i < j \leq n-3$$

**Thm :** [Schwarz (1873) - ... - Deligne-Mostow (1986)]

1.  $\alpha$  satisfait (INT)  $\implies \text{Mon}(S^\alpha) = \Gamma^\alpha \subset \text{PU}(1, n-3)$  réseau
2. Construction de réseaux AR & NAR de  $\text{PU}(1, m)$ ,  $m \leq 5$



## II $g = 0$ : Thurston “Shapes of polyhedra” (1987)

- $\mathbf{M}_{0,n}^\alpha \simeq \mathcal{E}_{0,n}^\alpha / \mathbf{PMCG}_{0,n} = \left\{ \begin{array}{l} \text{sphères plates avec singularité} \\ \alpha_k\text{-conique en } p_k, k = 1, \dots, n \end{array} \right\} / \sim$

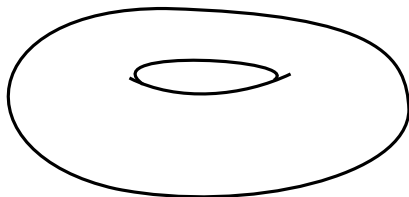
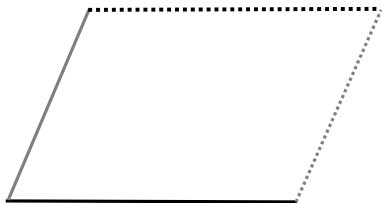
**Thm : [Thurston]** La complétion métrique  $\overline{\mathbf{M}}_{0,n}^\alpha$  :

- est une  $\mathbb{C}\mathbb{H}^{n-3}$ -conifolde de volume fini
- s'obtient en rajoutant à  $\mathbf{M}_{0,n}^\alpha$  des **C-strates**  $\mathbf{M}_{0,n'}^{\alpha'}$
- $\exists$  formule pour l'angle conifolde autour de  $\mathbf{M}_{0,n'}^{\alpha'}$  de codim 1
- est une  $\mathbb{C}\mathbb{H}^{n-3}$ -orbifolde si  $\alpha = (\alpha_k)_{k=1}^n$  vérifie  
**(INT)**  $\forall k < \ell : -1 < \alpha_k + \alpha_\ell \implies (1 + \alpha_k + \alpha_\ell)^{-1} \in \mathbb{Z}$

$\implies$  Retrouve réseaux AR & NAR de  $\mathbf{PU}(1, m)$  de Deligne-Mostow

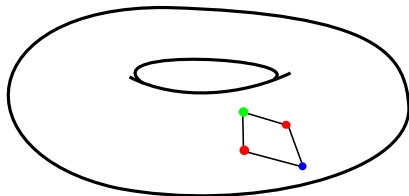
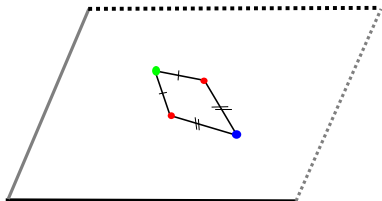
## II $g = 0$ : Thurston "*Shapes of polyhedra*" (1987)

- Méthode : chirurgies sur les surfaces plates



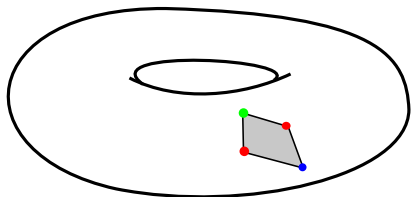
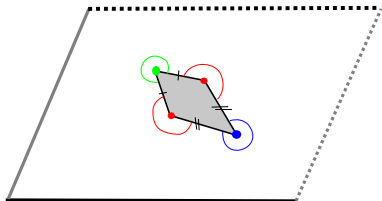
## II $g = 0$ : Thurston "*Shapes of polyhedra*" (1987)

- Méthode : chirurgies sur les surfaces plates



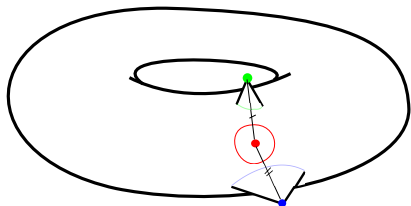
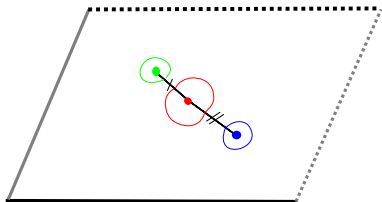
## II $g = 0$ : Thurston "Shapes of polyhedra" (1987)

- Méthode : chirurgies sur les surfaces plates



## II $g = 0$ : Thurston "Shapes of polyhedra" (1987)

- Méthode : chirurgies sur les surfaces plates



### III $g = 1$ : [GPgeom]

- $\mathbf{M}_{1,n+1}$  de dimension  $n + 1$
- feuille  $\mathbf{F}_\rho^\alpha$  de dimension  $n$
- [Veech]  $\left[ \begin{array}{l} 2\pi < \theta_1 < 4\pi \\ 0 < \theta_k < 2\pi \\ k=2,\dots,n+1 \end{array} \right] \implies$
- $\mathbb{C}\mathbb{H}^n$ -structure sur  $\mathbf{F}_\rho^\alpha$
- $\Gamma_\rho^\alpha = \text{Im}(\pi_1(\mathbf{F}_\rho^\alpha) \rightarrow \mathbf{PU}(1, n))$

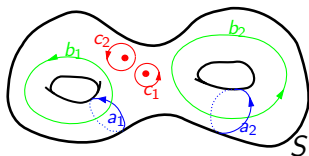
**Thm : [GP]** Pour  $\rho$  de torsion, la complétion métrique  $\overline{\mathbf{F}_\rho^\alpha}$  :

- est une  $\mathbb{C}\mathbb{H}^n$ -conifolde de volume fini
- s'obtient en rajoutant à  $\mathbf{F}_\rho^\alpha$  des
  - $C$ -strates  $\mathbf{F}_{\rho'}^{\alpha'}$  (genre 1)
  - $P$ -strates  $\mathbf{M}_{0,n'}^{\alpha'}$  (genre 0)
- $\exists$  formules pour les angles conifolde // strates de codim 1

$\implies \exists \Gamma_\rho^\alpha = \text{réseaux AR dans } \mathbf{PU}(1, n) \text{ pour } n \leq 5$

### III $g = 1$ : [GHypergeom]

- $(X, x) \in \mathbf{Teich}_{g,n} \simeq \mathcal{E}_{g,n}^\alpha \rightsquigarrow$  métrique  $\alpha$ -plate  $m_{X,x}^\alpha$  sur  $X$
- $\mathbf{H}^\alpha(X) = \rho_{X,x}^\alpha : \pi_1(g, n) \longrightarrow \mathbb{U}$  se fact. par  $\pi_1(g, n)^{\text{ab}} = H_1(g, n)$



- $\mathbf{Tor}_{g,n} = \left\{ (X, x, \nu) \mid \nu \text{ marquage de } H_1(X^*) \right\} = \mathbf{Teich}_{g,n} / \mathcal{G}_{g,n}$

$$\begin{array}{ccc}
 \mathbf{Teich}_{g,n} & \xrightarrow{\mathbf{H}^\alpha} & \mathbb{U}^{2g} \\
 \downarrow & & \nearrow \\
 \mathbf{Tor}_{g,n} & \xrightarrow{\mathbf{h}^\alpha} & 
 \end{array}$$

- $\rightsquigarrow$  Plus naturel d'étudier  $\mathcal{F}^\alpha$  sur  $\mathbf{Tor}_{g,n}$

**Thm:** [Nag]

- $\mathbf{Tor}_{1,n} = \left\{ (\tau, z) \in \mathbb{H} \times \mathbb{C}^n \mid \begin{array}{l} z = (z_1 = 0, z_2, \dots, z_n) \\ z_k - z_\ell \notin \mathbb{Z}_\tau, \forall k < \ell \end{array} \right\}$
- $\mathbf{PMCG}_{1,n}/\mathcal{GT}_{1,n} \simeq \mathrm{SL}_2(\mathbb{Z}) \times (\mathbb{Z}^2)^{n-1}$  avec action standard

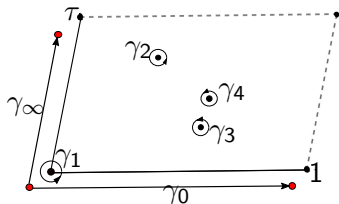
- Pour  $(\tau, z) \in \mathbf{Tor}_{1,n}$  :  $m_{\tau,z}^\alpha = \begin{cases} \text{m\u00e9trique plate sur } E_\tau = \mathbb{C}/\mathbb{Z}_\tau \\ \text{avec } [z_k] = \text{point } \alpha_k\text{-conique} \end{cases}$

**Prop:** [GP] On a  $m_{\tau,z}^\alpha = |T_{\tau,z}^\alpha(u)du|^2$  avec

- $T_{\tau,z}^\alpha(u) = e^{2i\pi\alpha_0 u} \prod_{k=1}^n \theta(u - z_k, \tau)^{\alpha_k}$
- $\alpha_0 = \alpha_0(\tau, z) = -\mathfrak{Im}(\sum_{k=1}^n \alpha_k z_k) / \mathfrak{Im}(\tau) \in \mathbb{R}$



- $H_1(E_{\tau,z}^*, \mathbb{Z})$  est engendré par  $\gamma_0, \gamma_1, \gamma_2, \dots, \gamma_n, \gamma_\infty$  :



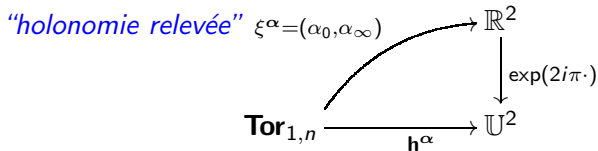
- $\mathbf{Tor}_{1,n} \ni (\tau, z) \longleftrightarrow \left( E_{\tau,z}, m_{\tau,z}^\alpha = \left| e^{2i\pi\alpha_0 u} \prod_k \theta(u - z_k)^{\alpha_k} du \right|^2 \right)$

$$\mathbf{h}^\alpha(\gamma_0) = e^{2i\pi\alpha_0} \quad \text{avec} \quad \alpha_0 = -\Im \mathbf{m} \left( \sum_k \alpha_k z_k \right) / \Im \mathbf{m}(\tau) \in \mathbb{R}$$

$$\mathbf{h}^\alpha(\gamma_\infty) = e^{2i\pi\alpha_\infty} \quad \text{avec} \quad \alpha_\infty = \alpha_0 \tau + \sum_k \alpha_k z_k \in \mathbb{R}$$

- L'application d'holonomie s'écrit

$$\mathbf{h}^\alpha : \mathbf{Tor}_{1,n} \longrightarrow \mathbb{U}^2, \quad (\tau, z) \longmapsto \left( e^{2i\pi\alpha_0}, e^{2i\pi\alpha_\infty} \right)$$



**Thm :** [GP]

- Les feuilles de  $\mathcal{F}^\alpha$  dans  $\text{Tor}_{1,n}$  sont les sous-variétés affines

$$\mathcal{F}_a^\alpha = (\xi^\alpha)^{-1}(a) : a_0\tau + \sum_k \alpha_k z_k = a_\infty, \quad a = (a_0, a_\infty) \in \mathbb{R}^2$$

- $\mathcal{F}^\alpha$  (et donc  $\mathbf{F}^\alpha$ ) dépend seulement de  $[\alpha] \in \mathbb{P}(\mathbb{R}^n)$

- Cas  $n = 2$  : alors  $\alpha = (\alpha_1, -\alpha_1)$  avec  $0 < \alpha_1 < 1$

$$\mathbf{F}^\alpha = \mathbf{F}^{\alpha_1} = \text{feuilletage sur } \mathbf{M}_{1,2} \begin{cases} - \text{canonique (indép.}^\dagger \text{ de } \alpha_1) \\ - \text{par des } \mathbb{C}\mathbb{H}^1\text{-courbes} \end{cases}$$

### Thm : [GP]

- Dans  $\mathbf{Tor}_{1,2}$ , pour tout  $a = (a_0, a_\infty) \in \mathbb{R}^2 \setminus \alpha_1 \mathbb{Z}^2$  :

$$\begin{aligned} \mathbb{H} &\xrightarrow{\sim} \mathcal{F}_a^\alpha \\ \tau &\longmapsto \left( \tau, \frac{1}{\alpha_1} (a_0 \tau - a_\infty) \right) \end{aligned}$$

- 
- La restriction  $\mathcal{F}_a^\alpha \rightarrow \mathbf{F}_a^\alpha$  de  $\mathbf{Tor}_{1,2} \rightarrow \mathbf{M}_{1,2}$  est isomorphe au quotient de  $\mathbb{H}$  par

- $\mathbf{Id} : \tau \mapsto \tau \quad \implies \quad \mathbf{F}_a^\alpha \simeq \mathbb{H}$
- $\mathbf{T} : \tau \mapsto \tau + 1 \quad \implies \quad \mathbf{F}_a^\alpha \simeq \text{cylindre infini}$
- $\Gamma_1(N), N \geq 2 \quad \implies \quad \mathbf{F}_a^\alpha \simeq \mathbb{H}/\Gamma_1(N) = Y_1(N)$

- 
- Feuilles fermées de  $\mathbf{F}^\alpha$  : les  $\mathbf{F}_{(0,1/N)}^\alpha \simeq Y_1(N)$  avec  $N \geq 2$

- ( $N \geq 2$ ) Uniformisation de  $Y_1(N)^{\alpha_1} = \mathbf{F}_{(0,1/N)}^\alpha \subset \mathbf{M}_{1,2}$  :

$$\mathbb{H} \longrightarrow Y_1(N)^{\alpha_1} \hookrightarrow \mathbf{M}_{1,2}$$

$$\tau \longmapsto (E_\tau, [\frac{1}{N}]) \longmapsto (E_\tau, [0], [\frac{1}{N}])$$

- En termes de surfaces plates ( $\mathbf{M}_{1,2} \simeq \mathbf{M}_{1,2}^\alpha$ )

$$\mathbb{H} \longrightarrow Y_1(N)^{\alpha_1} \hookrightarrow \mathbf{M}_{1,2}^\alpha$$

$$\tau \longmapsto (E_\tau, m_{N,\tau}^{\alpha_1})$$

$$\text{où } m_{N,\tau}^{\alpha_1} = |T_\tau(u)du|^2 \quad \text{avec} \quad T_\tau(u) = \frac{\theta(u,\tau)^{\alpha_1}}{\theta(u-\frac{1}{N},\tau)^{\alpha_1}}$$

- Application de Veech  $V_N^{\alpha_1} : \mathbb{H} \simeq \mathcal{F}_{(0,1/N)}^\alpha \longrightarrow \mathbb{C}\mathbb{H}^1 \subset \mathbb{P}^1$

$$\tau \longmapsto \left[ \int_0^1 T_\tau(u)du : \int_0^\tau T_\tau(u)du \right]$$

## Travaux de Mano & Watanabe :

- Interprétation cohomologico-analytique (= “**hypergéométrique**”) de

$$F_0(\tau) = \int_{[0,1]} T_\tau(u) du = \langle [0, 1], [T_\tau(u) du] \rangle$$

avec  $[0, 1] \in H_1(E_\tau^*, L_\tau)$  et  $[T_\tau(u) du] \in H^1(E_\tau^*, L_\tau^\vee)$

- Quand  $\tau$  varie dans  $\mathbb{H}$   $\rightsquigarrow$  connexion de Gauß-Manin
- $\rightsquigarrow$  Construction de l’**“équation hypergéométrique elliptique”**

$$(\mathcal{E}_N^{\alpha_1}) : \quad \ddot{F}(\tau) + P_N^{\alpha_1}(\tau) \dot{F}(\tau) + Q_N^{\alpha_1}(\tau) F(\tau) = 0$$

telle que  $\text{Sol}(\mathcal{E}_N^{\alpha_1}) = \text{Vect}_{\mathbb{C}} \left\langle \int_{[0,1]} T_\tau(u) du, \int_{[0,\tau]} T_\tau(u) du \right\rangle$

**Prop:**  $(\mathcal{E}_N^{\alpha_1})$  Fuchsienne en  $i\infty$  + formule pour l'indice projectif

**Thm : [GP]** Pour tout  $\alpha_1 \in ]0, 1[$  :

- La  $\mathbb{C}H^1$ -structure de Veech de  $Y_1(N)^{\alpha_1}$  s'étend en une structure conifolde  $X_1(N)^{\alpha_1}$  sur la compactification  $X_1(N)$

- L'angle conifolde de  $X_1(N)^{\alpha_1}$  en  $\mathfrak{c} = [a/c] \in \mathbb{P}^1(\mathbb{Q})$  est

$$\theta_{\mathfrak{c}} = 2\pi \frac{c(N-c)}{N \cdot \text{pgcd}(c, N)} \cdot \alpha_1$$

- $\alpha_1 = \frac{N}{\ell N^*}$  avec  $\ell \geq 1 \implies X_1(N)^{\alpha_1}$  est une  $\mathbb{C}H^1$ -orbifolde

- Pour  $p$  premier : **Aire** $(Y_1(p)^{\alpha_1}) = \frac{\pi}{6}(1 - \alpha_1)(p^2 - 1)$

- On en déduit **Vol** $(\mathbf{M}_{1,2}^{\alpha_1}) = \frac{\pi}{6}(1 - \alpha_1) < \infty$

# “Hypergéométrie” en dimension 1

<b>Cas classique</b> ( $g = 0$ )	
$\mathcal{M}_{0,4} \simeq \mathbb{P}^1 \setminus \{0, 1, \infty\}$	
$x \rightsquigarrow \mathbb{P}^1 \setminus \{0, 1, x, \infty\}$	
$\omega_x^\alpha = \prod_{k=1}^4 (t - u_k)^{\alpha_k} dt$	
$F_\gamma(x) = \int_\gamma \prod_{k=1}^4 (t - u_k)^{\alpha_k} dt$	
$(\mathcal{E}_{a,b,c}) : F'' + \frac{c-(1+a+b)x}{x(1-x)} F' - \frac{ab}{x(1-x)} F = 0$	
$S^\alpha : \widetilde{\mathcal{M}}_{0,4} \longrightarrow \mathbb{H}$	
pour certains $\alpha = (\alpha_1, \dots, \alpha_4)$ $\Gamma^\alpha < \mathbf{PSL}_2(\mathbb{R})$ est un réseau	

# “Hypergéométrie” en dimension 1

Cas classique ( $g = 0$ )	Cas elliptique ( $g = 1$ )
$\mathcal{M}_{0,4} \simeq \mathbb{P}^1 \setminus \{0, 1, \infty\}$	
$x \rightsquigarrow \mathbb{P}^1 \setminus \{0, 1, x, \infty\}$	
$\omega_x^\alpha = \prod_{k=1}^4 (t - u_k)^{\alpha_k} dt$	
$F_\gamma(x) = \int_\gamma \prod_{k=1}^4 (t - u_k)^{\alpha_k} dt$	
$(\mathcal{E}_{a,b,c}) : F'' + \frac{c-(1+a+b)x}{x(1-x)} F' - \frac{ab}{x(1-x)} F = 0$	
$S^\alpha : \widetilde{\mathcal{M}}_{0,4} \longrightarrow \mathbb{H}$	
pour certains $\alpha = (\alpha_1, \dots, \alpha_4)$ $\Gamma^\alpha < \mathbf{PSL}_2(\mathbb{R})$ est un réseau	



# “Hypergéométrie” en dimension 1

Cas classique ( $g = 0$ )	Cas elliptique ( $g = 1$ )
$\mathcal{M}_{0,4} \simeq \mathbb{P}^1 \setminus \{0, 1, \infty\}$	$Y_1(N) = \mathbb{H}/\Gamma_1(N) \quad (N \geq 2)$
$x \rightsquigarrow \mathbb{P}^1 \setminus \{0, 1, x, \infty\}$	
$\omega_x^\alpha = \prod_{k=1}^4 (t - u_k)^{\alpha_k} dt$	
$F_\gamma(x) = \int_\gamma \prod_{k=1}^4 (t - u_k)^{\alpha_k} dt$	
$(\mathcal{E}_{a,b,c}) : F'' + \frac{c-(1+a+b)x}{x(1-x)} F' - \frac{ab}{x(1-x)} F = 0$	
$S^\alpha : \widetilde{\mathcal{M}}_{0,4} \longrightarrow \mathbb{H}$	
pour certains $\alpha = (\alpha_1, \dots, \alpha_4)$ $\Gamma^\alpha < \mathbf{PSL}_2(\mathbb{R})$ est un réseau	

# “Hypergéométrie” en dimension 1

Cas classique ( $g = 0$ )	Cas elliptique ( $g = 1$ )
$\mathcal{M}_{0,4} \simeq \mathbb{P}^1 \setminus \{0, 1, \infty\}$	$Y_1(N) = \mathbb{H}/\Gamma_1(N) \quad (N \geq 2)$
$x \rightsquigarrow \mathbb{P}^1 \setminus \{0, 1, x, \infty\}$	$\tau \rightsquigarrow E_\tau \setminus \{0, \frac{1}{N}\}$
$\omega_x^\alpha = \prod_{k=1}^4 (t - u_k)^{\alpha_k} dt$	
$F_\gamma(x) = \int_\gamma \prod_{k=1}^4 (t - u_k)^{\alpha_k} dt$	
$(\mathcal{E}_{a,b,c}) : F'' + \frac{c-(1+a+b)x}{x(1-x)} F' - \frac{ab}{x(1-x)} F = 0$	
$S^\alpha : \widetilde{\mathcal{M}}_{0,4} \longrightarrow \mathbb{H}$	
pour certains $\alpha = (\alpha_1, \dots, \alpha_4)$ $\Gamma^\alpha < \mathbf{PSL}_2(\mathbb{R})$ est un réseau	

# “Hypergéométrie” en dimension 1

Cas classique ( $g = 0$ )	Cas elliptique ( $g = 1$ )
$\mathcal{M}_{0,4} \simeq \mathbb{P}^1 \setminus \{0, 1, \infty\}$	$Y_1(N) = \mathbb{H}/\Gamma_1(N) \quad (N \geq 2)$
$x \rightsquigarrow \mathbb{P}^1 \setminus \{0, 1, x, \infty\}$	$\tau \rightsquigarrow E_\tau \setminus \{0, \frac{1}{N}\}$
$\omega_x^\alpha = \prod_{k=1}^4 (t - u_k)^{\alpha_k} dt$	$\omega_\tau^{\alpha_1} = \frac{\theta(u, \tau)^{\alpha_1}}{\theta(u - \frac{1}{N}, \tau)^{\alpha_1}} du$
$F_\gamma(x) = \int_\gamma \prod_{k=1}^4 (t - u_k)^{\alpha_k} dt$	
$(\mathcal{E}_{a,b,c}) : F'' + \frac{c-(1+a+b)x}{x(1-x)} F' - \frac{ab}{x(1-x)} F = 0$	
$S^\alpha : \widetilde{\mathcal{M}}_{0,4} \rightarrow \mathbb{H}$	
pour certains $\alpha = (\alpha_1, \dots, \alpha_4)$ $\Gamma^\alpha < \mathbf{PSL}_2(\mathbb{R})$ est un réseau	

# “Hypergéométrie” en dimension 1

Cas classique ( $g = 0$ )	Cas elliptique ( $g = 1$ )
$\mathcal{M}_{0,4} \simeq \mathbb{P}^1 \setminus \{0, 1, \infty\}$	$Y_1(N) = \mathbb{H}/\Gamma_1(N) \quad (N \geq 2)$
$x \rightsquigarrow \mathbb{P}^1 \setminus \{0, 1, x, \infty\}$	$\tau \rightsquigarrow E_\tau \setminus \{0, \frac{1}{N}\}$
$\omega_x^\alpha = \prod_{k=1}^4 (t - u_k)^{\alpha_k} dt$	$\omega_\tau^{\alpha_1} = \frac{\theta(u, \tau)^{\alpha_1}}{\theta(u - \frac{1}{N}, \tau)^{\alpha_1}} du$
$F_\gamma(x) = \int_\gamma \prod_{k=1}^4 (t - u_k)^{\alpha_k} dt$	$\Phi_\gamma(\tau) = \int_\gamma \frac{\theta(u, \tau)^{\alpha_1}}{\theta(u - \frac{1}{N}, \tau)^{\alpha_1}} du$
$(\mathcal{E}_{a,b,c}) : F'' + \frac{c - (1+a+b)x}{x(1-x)} F' - \frac{ab}{x(1-x)} F = 0$	
$S^\alpha : \widetilde{\mathcal{M}}_{0,4} \rightarrow \mathbb{H}$	
pour certains $\alpha = (\alpha_1, \dots, \alpha_4)$ $\Gamma^\alpha < \mathbf{PSL}_2(\mathbb{R})$ est un réseau	

# “Hypergéométrie” en dimension 1

Cas classique ( $g = 0$ )	Cas elliptique ( $g = 1$ )
$\mathcal{M}_{0,4} \simeq \mathbb{P}^1 \setminus \{0, 1, \infty\}$	$Y_1(N) = \mathbb{H}/\Gamma_1(N) \quad (N \geq 2)$
$x \rightsquigarrow \mathbb{P}^1 \setminus \{0, 1, x, \infty\}$	$\tau \rightsquigarrow E_\tau \setminus \{0, \frac{1}{N}\}$
$\omega_x^\alpha = \prod_{k=1}^4 (t - u_k)^{\alpha_k} dt$	$\omega_\tau^{\alpha_1} = \frac{\theta(u, \tau)^{\alpha_1}}{\theta(u - \frac{1}{N}, \tau)^{\alpha_1}} du$
$F_\gamma(x) = \int_\gamma \prod_{k=1}^4 (t - u_k)^{\alpha_k} dt$	$\Phi_\gamma(\tau) = \int_\gamma \frac{\theta(u, \tau)^{\alpha_1}}{\theta(u - \frac{1}{N}, \tau)^{\alpha_1}} du$
$(\mathcal{E}_{a,b,c}) : F'' + \frac{c-(1+a+b)x}{x(1-x)} F' - \frac{ab}{x(1-x)} F = 0$	$(\mathcal{E}_N^{\alpha_1}) : \ddot{\Phi} + P_N^{\alpha_1}(\tau) \dot{\Phi} + Q_N^{\alpha_1}(\tau) \Phi = 0$
$S^\alpha : \widetilde{\mathcal{M}}_{0,4} \rightarrow \mathbb{H}$	
pour certains $\alpha = (\alpha_1, \dots, \alpha_4)$ $\Gamma^\alpha < \mathbf{PSL}_2(\mathbb{R})$ est un réseau	

# “Hypergéométrie” en dimension 1

Cas classique ( $g = 0$ )	Cas elliptique ( $g = 1$ )
$\mathcal{M}_{0,4} \simeq \mathbb{P}^1 \setminus \{0, 1, \infty\}$	$Y_1(N) = \mathbb{H}/\Gamma_1(N) \quad (N \geq 2)$
$x \rightsquigarrow \mathbb{P}^1 \setminus \{0, 1, x, \infty\}$	$\tau \rightsquigarrow E_\tau \setminus \{0, \frac{1}{N}\}$
$\omega_x^\alpha = \prod_{k=1}^4 (t - u_k)^{\alpha_k} dt$	$\omega_\tau^{\alpha_1} = \frac{\theta(u, \tau)^{\alpha_1}}{\theta(u - \frac{1}{N}, \tau)^{\alpha_1}} du$
$F_\gamma(x) = \int_\gamma \prod_{k=1}^4 (t - u_k)^{\alpha_k} dt$	$\Phi_\gamma(\tau) = \int_\gamma \frac{\theta(u, \tau)^{\alpha_1}}{\theta(u - \frac{1}{N}, \tau)^{\alpha_1}} du$
$(\mathcal{E}_{a,b,c}) : F'' + \frac{c-(1+a+b)x}{x(1-x)} F' - \frac{ab}{x(1-x)} F = 0$	$(\mathcal{E}_N^{\alpha_1}) : \ddot{\Phi} + P_N^{\alpha_1}(\tau) \dot{\Phi} + Q_N^{\alpha_1}(\tau) \Phi = 0$
$S^\alpha : \widetilde{\mathcal{M}}_{0,4} \longrightarrow \mathbb{H}$	$S_N^{\alpha_1} : \widetilde{Y_1(N)} = \mathbb{H} \longrightarrow \mathbb{H}$
pour certains $\alpha = (\alpha_1, \dots, \alpha_4)$ $\Gamma^\alpha < \mathbf{PSL}_2(\mathbb{R})$ est un réseau	

# “Hypergéométrie” en dimension 1

Cas classique ( $g = 0$ )	Cas elliptique ( $g = 1$ )
$\mathcal{M}_{0,4} \simeq \mathbb{P}^1 \setminus \{0, 1, \infty\}$	$Y_1(N) = \mathbb{H}/\Gamma_1(N) \quad (N \geq 2)$
$x \rightsquigarrow \mathbb{P}^1 \setminus \{0, 1, x, \infty\}$	$\tau \rightsquigarrow E_\tau \setminus \{0, \frac{1}{N}\}$
$\omega_x^\alpha = \prod_{k=1}^4 (t - u_k)^{\alpha_k} dt$	$\omega_\tau^{\alpha_1} = \frac{\theta(u, \tau)^{\alpha_1}}{\theta(u - \frac{1}{N}, \tau)^{\alpha_1}} du$
$F_\gamma(x) = \int_\gamma \prod_{k=1}^4 (t - u_k)^{\alpha_k} dt$	$\Phi_\gamma(\tau) = \int_\gamma \frac{\theta(u, \tau)^{\alpha_1}}{\theta(u - \frac{1}{N}, \tau)^{\alpha_1}} du$
$(\mathcal{E}_{a,b,c}) : F'' + \frac{c-(1+a+b)x}{x(1-x)} F' - \frac{ab}{x(1-x)} F = 0$	$(\mathcal{E}_N^{\alpha_1}) : \ddot{\Phi} + P_N^{\alpha_1}(\tau) \dot{\Phi} + Q_N^{\alpha_1}(\tau) \Phi = 0$
$S^\alpha : \widetilde{\mathcal{M}}_{0,4} \rightarrow \mathbb{H}$	$S_N^{\alpha_1} : \widetilde{Y}_1(N) = \mathbb{H} \rightarrow \mathbb{H}$
pour certains $\alpha = (\alpha_1, \dots, \alpha_4)$ $\Gamma^\alpha < \mathbf{PSL}_2(\mathbb{R})$ est un réseau	pour certaines paires $(\alpha_1, N)$ $\Gamma_N^{\alpha_1} < \mathbf{PSL}_2(\mathbb{R})$ est un réseau